

Hog Cholera 病豚의 脑 및 淋巴臟器에 관한 病理組織學的研究

II. 淋巴臟器의 壞死와 封入體出現

郭 守 東

慶尚北道家畜衛生試驗所

李 且 秀

慶北大學校 農科大學

緒論

前報에서는 國內에서 發生한 hog cholera 病豚과 이들 病豚으로 부터 分離한 病毒을 接種한 實驗豚에서 臨床 및 病理解剖學的 所見을 追求한 바 있다.

hog cholera 的 診斷方法은 病理學的方法^{7,8,16,18~20,39,45)} 螢光抗本法^{1,2,11,13,15,31~36,38~43,45,59,65,68,70,75,80)} END法 등에 依한 組織培養法^{33,34,80)} 및 血清反應法^{12,46,49)} 등의 여러 方法이 있으나 어느 것인든 完全無缺한 診斷法은 없다고 하겠다. 특히 腦血管의 圓形細胞浸潤, 血管의 變性 및 壞死, 淋巴臟器의 細網細胞의 肿大 및 增殖等의 病理組織學的 所見을 觀察함은 어느 方法보다 正確性이 높다고 한다.^{8,19,59,68)} 그러나 病理組織學的 所見 自體도 類似한 疾病等과 正確한 區別이 容易하지 않을 뿐 아니라^{5,17,19,22~25,27,29,41,47,48,50~58,60,71,73)} 病變에 따라서 그 出現率, 出現時期 및 進行程度 등에 對하여 意見의 一致가 되지 않고 있다.^{5,7,8,19,40,41,51,58,59,67,71,73)}

우리나라에 있어서 hog cholera 가 過去 30 餘年間發生되어 왔으나 國내 飼育豚의 本疾病 防護을 為한 vaccine 開發에만 상당한 研究가 되었을 뿐^{74~77,80)} 具體的인 病理學的 調査^{78,79)}는 거의 찾아 볼 수 없다. 또한 毒力의 變異에 따른 慢性化나 抗生剤等의 濫用에 因起되는 病理學的 所見도 상당히 다를 것으로 推測된다. 著者は 國내에서 自然 發生한 hog cholera 病豚과 實驗 接種豚에 對해서 臨床 및 肉眼的 所見을 觀察하는 한편 病理組織學的 所見中 特異하다고 認定되는 淋巴臟器의 壞死所見, 封入體의 出現臟器와 出現細胞등을 光學顯微鏡의 으로追求하였으며 이들 所見을 根據로 封入體의 本態를 電子顯微鏡의 으로 觀察하였던바 그 結果를 報告코자 한다.

材料 및 方法

自然發生例에는 1978年부터 3年間에 걸쳐 landrace berkshire, duroc 種 및 이들 雜種의 病豚으로서 臨床所見과 病理解剖學的으로 hog cholera로 識別되는 病豚들이었다. 光學顯微鏡의 觀察을 為하여 10% 中性 formalin에 固定하고 paraffin 包埋切片을 만들어 hematoxylin-eosin (H-E) 着色을 實施하여 病理組織學的으로 hog cholera 病與否를 診斷하였다. 한편 病豚의 扁桃線, 淋巴節 및 脾臟等의 一部를凍結切片하여 螢光顯微鏡 (FM200 A) 으로 hog cholera conjugate로써 本疾病을 確認하였다. 同時に 이와같이 診斷된 病豚의 組織에 對하여 淋巴臟器의 壞死所見과 封入體의 出現樣相을 病理組織學的으로 觀察하였다.

本 疾病의 人工感染實驗例로는 hog cholera에 對한 母體移行抗體가 거의 消失되었으리라고 推定되는 70日令 内外(體重 18~19 kg)의 健康한 landrace 種 5頭에 自然發生 病豚에서 分離된 hog cholera virus (HC V)를, 그리고 50日令 内外(體重 10~15 kg)의 landrace 또는 duroc 雜種 3頭에 免疫確認 challenge virus인 ALD株를 각각 接種하여 臨床症狀과 血液所見등을 觀察하였다. 野外分離 virus를 接種한例는 8日과 13日째에 그리고 ALD株를 接種한 實驗豚은 7~13日째에 각각 屠殺解體하여 肉眼의 으로 觀察한 後에 각 淋巴臟器별로 組織을 切取하여 自然發生例와 같이 追求하였다. 對照로서 hog cholera로 診斷된 自然發生例 中의 landrace 種 60~90日令 5頭의 淋巴臟器를 比較觀察하였다. 또한 封入體 確認을 為해 phloxine methylene blue 着色을 實施하여 觀察하였고, Gomori의 游銀法으로 淋巴組織의 細網織維의 變化를 觀察하였다.

한편 核內에 出現하는 封入體의 微細構造를 觀察코자

分離된 野外 virus 를 接種한 landrace 種 70 日令 (體重 18 ~ 19 kg)의 實驗豚을 接種後 8 日에 屠殺하였다.

그리고 淋巴臓器를 切取하여 2% paraformaldehyde - 2.5% glutaraldehyde (pH 7.4, 0.1M cacodylate buffer) 에 2時間 前固定하고, 2% osmium tetroxide (pH 7.4, 0.1MS - collidine buffer) 에 2시간 後固定하여 ²⁸⁾ ethanol 로 부터 acetone 으로 移行 脱水시켜 Epon 812 로 包埋하였고, ultramicrotome Sorvall Porter Blum MT - 2型으로 glass knife 를 利用하여 60 ~ 90 μm 의 超薄切片을 만들어 uranyl acetate 와 lead citrate 로 2種 染色한 뒤 電子顯微鏡(Hitachi model : HU-11 E) 으로 觀察하였다.

結 果

淋巴臓器의 壞死所見: 自然發生된 hog cholera 病豚 40 頭와 自然發生分離 HCV 및 challenge virus 의 ALD virus 를 接種한 實驗豚 8頭에서 淋巴組織의 壞死巢의 出現을 光學顯微鏡的으로 觀察하였던바 自然發生例의 病豚 40頭中 14頭(35.0%), 그리고 實驗豚 8頭中 3頭(37.5%)에서 각각 壞死所見이 觀察되었으며 自然發生例와 實驗例는 비슷한 發生率을 나타내었다. 淋巴組織의 壞死가 觀察된 臟器로서는 主로 脾臟, 扇桃腺, 淋巴節 및 胸腺 등이었다.

淋巴器管의 壞死所見을 個體別로 具體的으로 把握하

Table 1. Degree of the Necrosis in Lymphoid Organs

Organs	Natural Case					Experimental Case								
	1	2	3	4	5	ALD	Virus	Isolated	Virus	1	2	3	4	5
Mandibular LN	-	-	-	-	-	-	+++	-	-	-	-	+	-	-
Parotid LN	-	-	-	-	-	-	++	-	-	-	+	-	-	-
Superficial Cervical LN	+	-	-	-	-	-	+	-	-	-	-	-	-	-
Subiliac LN	-	-	-	-	-	-	++	-	-	-	-	-	-	-
Poplitial LN	-	-	-	-	-	-	+++	-	-	-	-	-	-	-
Inguinal LN	++	-	+	-	-	-	++	-	-	-	-	+	-	-
Tonsil	+	-	+	-	-	-	+++	-	-	-	+	+	-	-
Spleen	+	-	+	-	-	-	++	-	-	-	+	-	-	-
Bronchial LN	++	-	-	-	-	-	+	-	-	-	-	-	-	-
Thymus	-	-	-	-	-	-	++	-	-	-	-	-	-	-
Hepatic LN	++	-	-	-	-	-	+	-	-	-	-	-	-	-
Splenic LN	-	-	-	-	-	-	+	-	-	-	-	-	-	-
Renal LN	++	-	-	-	-	-	++	-	-	-	-	-	-	-
Large Intestinal Mesenteric LN	+	-	-	-	-	-	++	-	-	-	-	-	-	-
Small Intestinal Mesenteric LN	+	-	+	-	-	-	++	-	-	-	-	-	-	-

LN: lymph node

- : negative, + : mild, ++ : moderate, +++ : severe

기 為하여 無作為로 選定한 自然發生豚 40頭中 5頭와 앞에서 言及한 同一한 実驗豚 8頭를 比較觀察한 바 表 1에서 보는 바와같이 自然發生例에서는 5頭中 2頭에서, ALD virus 接種에서는 3頭中 1頭 그리고 分離virus를 接種한例에서는 5頭中 2頭가 각各腸性으로 나타났다. 個體間 淋巴組織의 壞死의 程度와 出現部位에 差異가 認定되었으며 또한 同一한 豚群에 同時に 發生한 自然發生例에서도 個體間의 差異가 있었다. 그리고 自然發生例나 実驗例에서 同一한 臟器에 出現한 것은 扁桃線, 脾臟, 鼠蹊淋巴節이었고 頸下 및 耳下淋巴節에서는 実驗例에서 觀察되었다.

淋巴臓器에 있어서 壞死에 關한 光學顯微鏡的 所見으로는 自然發生例나 実驗例가 거의 同一하였으며 淋巴臓胞과 脾臟의 白色髓內에서 淋巴細胞의 核叢縮 및 核崩壊 등이 限局性으로 出現하기始作하여 壞死部位가 拡大되었으며(寫眞 1~5) 壞死가 일어나는 諸胞周圍에서는 처음에는 淋巴細胞의 減少는 頗著하였으나 淋巴細胞의 壞死는 認定되지 않았다. 壞死가 甚하게 進行된 部位는 어찌한 淋巴細胞도 殘留하지 않았을뿐 아니라 細網細胞의增殖이 認定되지 않았고 染色性이 弱하였으며 그基質은 淡明 均等하게 好酸性으로 出現하였다. 이러한 病變은 漸次 拡大되었고 壹死가 拡大된 周圍나 病變이 中等度로

Table 2. Occurrence of Intranuclear Inclusion Body in Lymphoid Organs

Organs	Natural Case					Experimental Case								
						ALD Virus			Isolated Virus					
	1	2	3	4	5	1	2	3	1	2	3	4	5	
Mandibular LN	+	+	++	+	+	+	-	+++	+	+++	+	+	+	+
Parotid LN	+	+	+++	+	+	+++	-	+	+	++	-	+	+	++
Superficial Cervical LN	+	+	++	+	+	+	+	++	++	++	+	+	+	+
Subiliac LN	-	+	+++	+	+	++	-	++	+	+	-	+	+	+
Poplitical LN	-	+	++	+	+	+	-	+	+	+	-	-	-	+
Inguinal LN	+	+	+++	++	+	+	-	+	++	+	-	+	+	++
Tonsil	+	+	+	+	-	+	-	++	+	+	+	+	+	+
Spleen	+	+	++	++	+	++	-	++	+	++	-	+	+	++
Bronchial LN	+	++	+++	+	+	++	-	+	+	+	+	+	+	+
Thymus	+	-	+	++	-	+	-	+	++	+	+	-	+	+
Hepatic LN	++	++	+++	+++	-	+	+	+	+	+	-	+	+	+
Splenic LN	++	+	++	+	-	+	-	++	+	++	-	+	+	+
Renal LN	+	+	+++	+	+	++	-	++	-	-	-	-	+	+
Large Intestinal Mesentric LN	+	+	++	+	+	+	-	+	++	+	+	+	+	+
Small Intestinal Mesentric LN	+	++	+++	+++	+	+	-	+	++	+	+	+	+	+

LN: lymph node

- : negative, + : mild, ++ : moderate, +++ : severe

進行된 部位에서는 正常 淋巴細胞間에 壊死된 淋巴細胞가 散在하였고 가끔 細網細胞의 增殖과 肿大(寫真 6,7) 形質細胞 및 好中球의 出現(寫真 8)등이 少數例에서 觀察되었다. 또한 이와같은 部位의 血管에 있어서는 血液으로 充盈되어 있었다. 한편 淋巴濾胞 및 脾臟 白色髓의 周邊部에서도 壊死所見이 觀察되었다. 扁桃腺에서는 主로 扁桃窩周圍의 淋巴濾胞에서 壊死가始作되어 周邊部로 拡大되는 것이 觀察되었다(寫真 9).

壞死가 일어난 部位의 細網纖維의 變化를 알아보기 위하여 Gomori의 游銀法으로 染色한 結果 細網纖維의 配列의 不規則과 소송 및 斷絕등이一般的으로 觀察되었고(寫真 10,11) 이와같은 所見은 壊死程度에 따라 相異하였다.

封入體의 出現樣相: hog cholera病豚에 있어서 核내에 出現하는 封入體에 關해서는 自然發生例 40頭中 16頭에서 檢出되어 檢出率은 40.0%였고 實驗接種例는 全頭數에서 觀察되었다. 封入體의 出現頻度는 淋巴節이 第一 높았고 그 다음은 脾臟, 扇桃腺, 肺臟 및 腸의順이었으며 他臟器에서는 觀察되지 않았다. 實驗例와 自然發生例의 各淋巴臟器에 對한 封入體의 出現頻度는 表2에서 보는 바와 類似에 對한 封入體의 出現頻度는 表2까지 보는 바와 같이 臟器別로는 差異가 크게 認定되지 않았으나 個體別로는 出現度의 差異가 呈著하였다. 封入體出現部位에 있어서는 淋巴節의 細網細胞와 脾臟의 細網細胞의 核内에 主로 出現하였으며(寫真 12-16) 肺에서는 出血이 일어난 部位의 細氣管支上皮와 肺胞壁의 上皮細胞 및 腸의 血管內皮細胞에서도 核内에 出現하는 것이 極少數로 觀察되었다(寫真 17,18). 封入體의 光學顯微鏡的 所見으로는 本小體가 出現하는 細胞의 核内에大小不同한 한개 또는 2個의 好酸性乃至弱好酸性의 球形의 封入體가 核의 中心部 또는 核膜側으로 位置하고 있었으며 그周圍는 漢明하였다(寫真 12-18). 그리고 Cowdry¹⁴의 分類에 따르면 A型이 主하였으나 B型도 觀察되었으며 phloxine methylene blue染色에서 封入體는 背色으로 染色되었다. 그리고 封入體는 淋巴細胞의 壊死가 進行中이거나 일어났던 部位에서는 잘 觀察되지 않았으나 壊死가 認定되지 않은 餘他部位에서 出現하였다.

한편 이들 光學顯微鏡的 封入體가 核의 中央部 또는 周邊部에 1個乃至 2個로 出現하였으며 電子顯微鏡의 으로는 이들 核内에는 perichromatin顆粒과 interchromatin顆粒이 增加된 樣相이었으며 核孔이 拡張된 所見이었고 이들 顆粒周邊은 대체로 漢明하였다. 따라서 이들 封入體는 活動的인 核小體와 核内에 出現하는 chrom-

atin顆粒들로構成되어 있음이 觀察되었다(寫真 19-21). 한편 이와같은 細胞周圍에서는 他細胞들의 變性 및 壊死所見도 觀察되었다.

考 察

hog cholera病豚의 淋巴臟器壞死에 對하여 Maurer 등⁴¹은 淋巴球生成失宜에 依해 淋巴細胞의 減少가 일어난다고 하였으나, Okaniwa等⁵⁹은 HCV인 ALD株로 接種한 實驗例에서 淋巴球의 壊死所見을 觀察한바 있었고, 또 HCV接種豚 및 自然發生病豚에서도 脳血管의 細胞浸潤과 本壞死所見이 가장 特徵的인 組織學的所見이라고 記述한바 있다.^{52,54,56} 한편 本病에 感染된妊娠豚으로부터 分娩된 新生仔豚과 死產된 태아의 淋巴組織에서도 壊死所見을 觀察한바 있다.⁹

本研究에서도 淋巴組織의 壊死所見이 淋巴節, 脾臟, 扇桃腺 및 胸腺等에서 觀察되었으며, 自然發生例의 35.0% 그리고 實驗例의 37.5%에서 각각 觀察되었고 文⁷⁸이 報告한 47%보다는 多少 낮은 傾向이었다. 本研究에서 淋巴球壞死가 發生한 個體와 發生되지 않는 個體는 거의 明確히 區別되었을뿐 아니라 出現率도 낮았고 african swine fever (ASF)^{19,30,41,48,49}에서 볼 수 있는 거와같이 모든 病豚의 광범한 淋巴組織에서의 壊死가 本例들에서는 認定되지 않았으며 이것은 ASF와 hog cholera와의 病理組織學的 差異點이라고도 하겠다.

壞死程度의 差異는 virus의 病原性 및 宿主個體의 抵抗性에 따라 相異하고, 生毒 vaccine의 安全度 檢查基準이 될수 있다고 하였으며^{56,58}이 壊死巢는 virus의 侵入增殖部位라고 하였다.^{55,58}著者가 觀察한 本例에서도 個體에 따라 壊死程度의 差異가 認定되었으며 이러한 壊死巢는 HCV에 依한 原發性病巢라 料思된다. 이와같은 所見에 對해서 Okaniwa等^{55,58}은 virus의 接種第1日에 血管에 壊死가 아직 發生되지 않고 2次感染이 일어나기 前에 淋巴濾胞에 壊死가 出現한다고 하였다.著者가 觀察한 本所見에서도 2次感染이 일어나기 쉬운 腸의 淋巴小節에 壊死가 出現하지 않고 또한 腸間膜淋巴節에도 他部位 淋巴節보다 出現이 많지 않은點, 그리고 virus의 一次侵入臟器로 알려진 扇桃腺에 壊死出現率이 높은點 등은 本virus에 依한 原發性作用이라는 것을 뒷받침한다고 하겠다. 壊死가 일어난 細胞에 對하여 Maurer等⁴¹, Okaniwa 및 Ishitani^{52,54,57,58}, Brack⁹는 淋巴球로 看做하였고 Dunne 및 Leman¹⁹은 ASF病豚에서 大食細胞가 主라고 하였다.著者가 觀察한

本例에서도 림파구의壊死가顯著하였으며 大食細胞내에서 本 virus 가增殖한다는事實^{19, 81)}로 미루어 볼 때 1次的大食細胞가破壊될것으로思料된다. 実驗例에서個體間에差異는있지만 強毒인 ALD virus接種例에서強한壊死巢를나타내는點은大食細胞에서增殖된 本 virus에依한것으로보며 한편 本 壊死所見이높은發生頻度를차지하고있는點은今後本病診斷에重要한所見으로看做된다.

돼지의 virus性疾患에서出現하는封入體에關한것을보면 rabies, swinepox에 있어서는細胞質內에, 그리고 african swine fever, pseudorabies, inclusion body rhinitis等은細胞核内에各各封入體가出現한다고하며 이들封入體의出現臟器, 出現細胞 및 出現時期等이多様하다고하였다.^{5, 19, 67, 73)} hog cholera病豚에서는封入體가出現하지않았으므로診斷的價値가없다고하였으며⁵⁾ 한편肝臟, 脾臟, 림파節, 副腎, 腎絲球體 및 肺胞의血管壁等의細胞에서封入體가出現하나感染後 13日內의小數例에서보였고이것은診斷的價値가거의없다고하였다.⁵¹⁾ 그러나 Urman等⁷¹⁾은 림파節, 胸腺, 扁桃腺, 脾臟의細網細胞, 肝의星細胞, 肺胞의上皮細胞, 腎細尿管間血管內皮細胞等에서封入體가出現하였다고하였으며, Dunne等¹⁹⁾ Urman等⁷¹⁾은封入體가形成된後곧消失되므로慢性經過에서는封入體가觀察되지않으나, 發病初期에表在性 림파節의生檢으로封入體를檢出할수있어신속하고正確한診斷에利用될수있으므로經濟의in面에서도利用價値가있는所見이라고하였다. 著者가觀察한自然發生例 hog cholera病豚組織에서封入體出現은40頭中에16頭(40.0%)로、脾臟, 림파節, 胸腺, 扁桃腺等의細網細胞와肺의肺胞上皮細胞, 脳의血管壁內皮細胞等에서觀察되었으며 림파節에서出現率이가장높았고個體別로出現度의差異가認定되었다.封入體의出現은接種後 5乃至 13日에觀察되나 7乃至 9日째에 그數가가장많이出現하고檢索이容易하다고하였다며 10乃至 13日째부터消失되기始作한다고하였다.⁷¹⁾本研究에서觀察된自然發生例의 40頭中 16頭에서의封入體出現은 Urman等⁷¹⁾에준한다면感染後 5乃至 13日內의病豚일것으로생각되며出現하지않은病豚은적어도感染後 13日以上經過되었으리라看做되고이와같은事實은感染後 7乃至 13日에屠殺한實驗豚의全頭數에서本小體가觀察된點과一致된다고하겠다.

hog cholera病豚組織의細胞核内에서出現하는封入體의本能에關하여 Nunes petisca等⁵¹⁾은核酸으로

構成되었을것이라고推定하였고 Urman等⁷¹⁾은核酸이아닌核染色質의變性物質이라고推定하였다. 그러나 Seifried⁶⁶⁾는腦神經細胞核内에한개또는數個의纖基性 또는好酸性均等質의大小圓形의封入體를觀察하고이들核의變性物質로看做하였으며特異한封入體는아니라고하였으나, Lee³⁵⁾는豚腎細胞를利用한組織培養에電子顯微鏡의으로核内에堅固한球形의集合體를發見하고 HCV particle일것이라고推定하였다.本研究에서나타난核内의封入體는 Cowdry¹⁴⁾에依한核染色質의好酸性變性物質과는相異하다고하겠다. 한편 HCV는 RNA virus로서 Toga virus科의 Pestivirus屬에核當되는細胞原形質親化性virus이며³⁾ 또한病豚의螢光抗體法에서도細胞原形質에서主로抗原이證明되고있는點^{4, 13, 15, 26, 36, 42, 44, 45, 61-64)}等은核内에出現하는本小體는virus particle과는無關하다고하겠다.本調査에서phloxine methylene blue染色에서도核의染色性과같이青色으로出現하였고, 本小體의出現과消退現狀이觀察되었다. 그리고電子顯微鏡의所見에서光學顯微鏡의으로본封入體가큰核小體와그周圍에chromatin顆粒들로構成되어있는點으로보아이封入體는1個또는2個의活動的인核小體와그周圍에나타나는RNA顆粒으로보는chromatin顆粒^{6, 21, 72)}들로構成되어있음을알수있었으며, 이와같은所見은腫瘍細胞에서볼수있는것과類似하였다. 이와같이細網細胞가virus자극에依해活性을띄는狀態로化하게됨에따라나타나는所見으로看做되며종래의見解^{35, 51, 66, 71)}와는差異가있다고본다.

結論

國內에서發生하는 hog cholera病豚의病理組織學的所見을明確하게하기為하여自然發生例와 ALD virus 및分離野外virus을接種한實驗例의病豚을臨床 및病理解剖學의으로觀察한後에 그所見을根據로淋巴組織의壊死所見과封入體의出現樣相을光學顯微鏡의으로觀察하고또한實驗例의脾臟 및 림파節의細網細胞核内에出現하는封入體를電子顯微鏡의으로觀察하였던바 다음과같은結果를얻었다.

淋巴組織의壊死는淋巴濾胞에서始作되었으며自然發生例의 35.0%, 實驗例의 37.5%의病豚에서觀察되었다.

封入體의出現은淋巴組織의細網細胞에서主로觀察되었고,肺의細氣管支上皮細胞와肺胞上皮細胞 및 脳의血管內皮細胞에서도出現하였다. 그리고自然發生豚

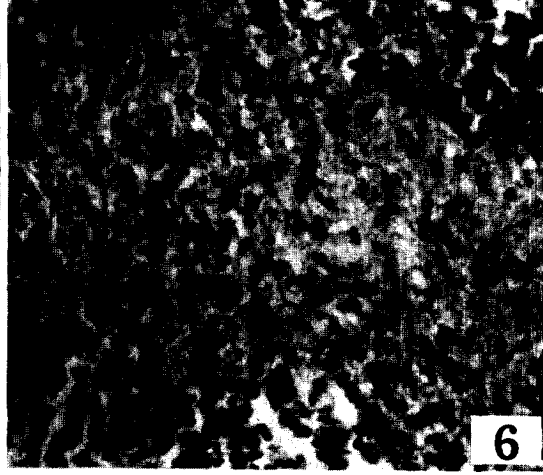
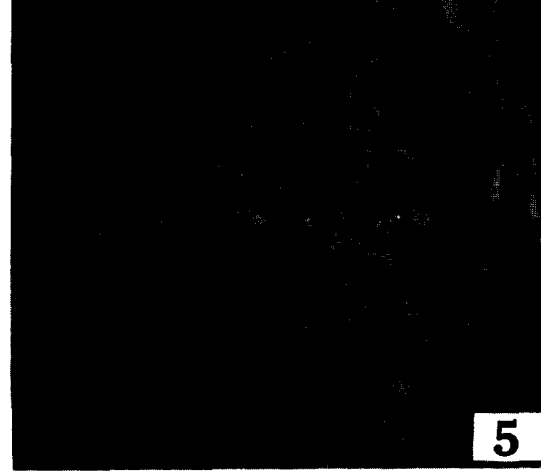
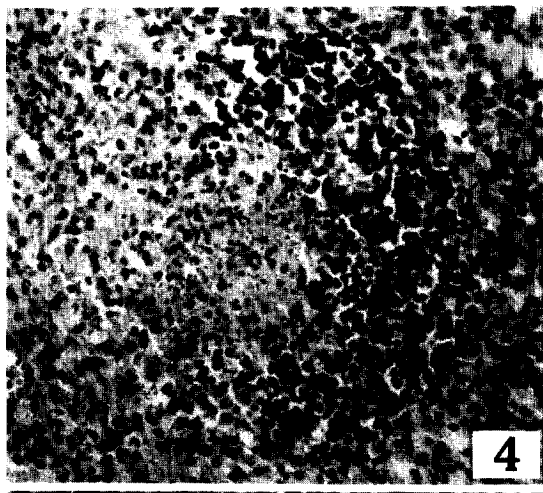
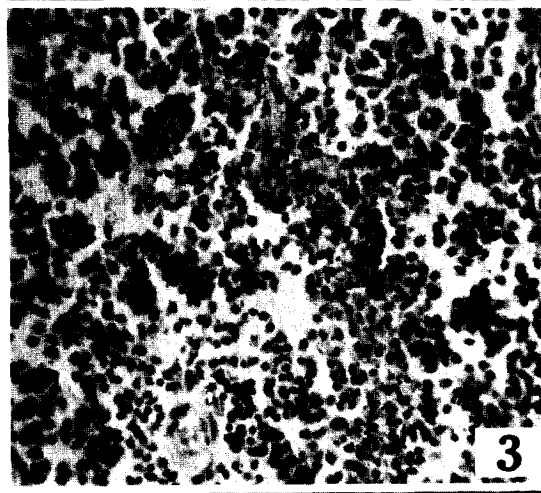
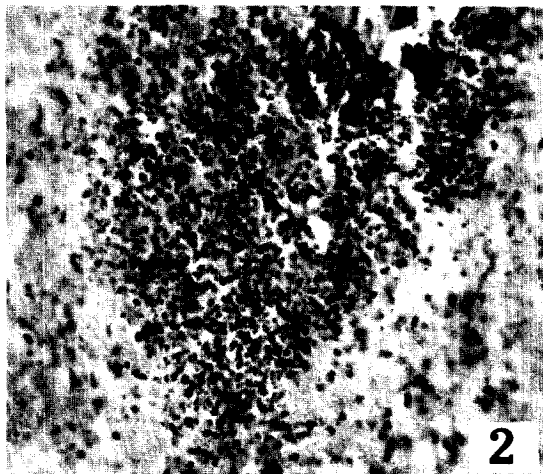
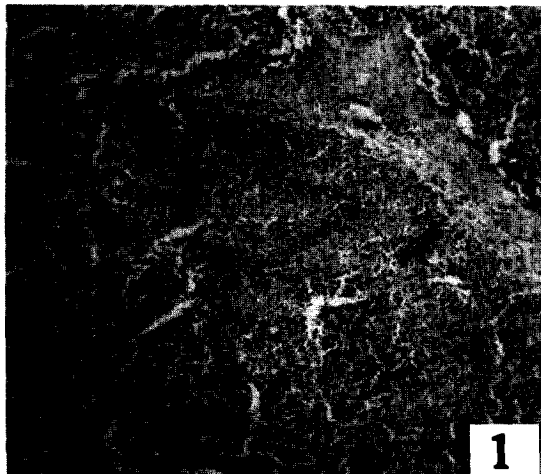
의 40.0%와 実驗豚 全例에서 封入體가 檢出되었다. 封入體는 電子顯微鏡的으로 活性的인 細胞의 核小体와 그 周圍에 出現하는 chromatin 顆粒(interchromatin

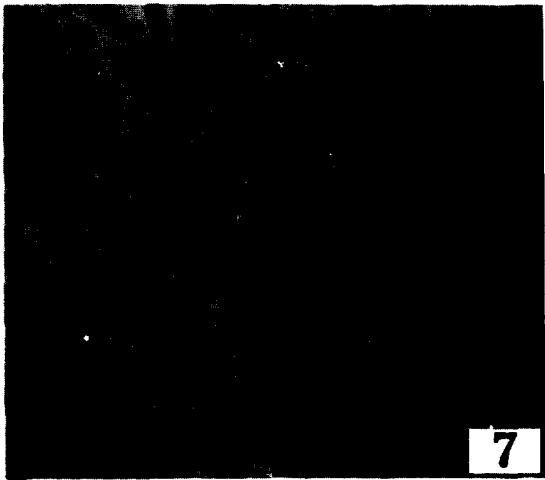
및 perichromatin)들로 構成되어 있는 것으로 보였다.

謝辭： 많은 指導와 協助를 해주신 慶北大學校 農科大學 獸醫學科 李在鉉 教授께 感謝를 드립니다.

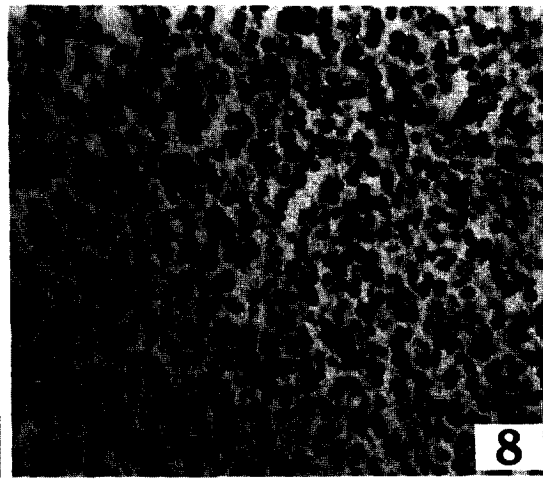
Legends for Figures

- Fig. 1. Lymph node of natural case. Severe necrosis is seen. H-E, X 33.
- Fig. 2. Lymph node of natural case. Necrosis of lymphoid follicle is noticeable. H-E, X 132.
- Fig. 3. Spleen of natural case. Focal necrosis of white pulp is seen. H-E, X 132.
- Fig. 4. Lymph node of experimental case inoculated with ALD virus. Focal necrosis of lymphoid follicle is seen. H-E, X 132.
- Fig. 5. Lymph node of experimental case inoculated with isolated hog cholera virus. Necrotic debris is seen in lymphoid follicle. H-E, X 132.
- Fig. 6. Lymph node of natural case. Necrotic tissue is almost replaced with proliferated reticular cells. H-E, X 132.
- Fig. 7. Spleen of natural case. Proliferated reticular cells are seen. H-E, X 330.
- Fig. 8. Lymph node of natural case. Plasma cells and macrophage are seen in necrotic tissue. H-E, X 132.
- Fig. 9. Tonsil of natural case. Necrosis of follicle is seen. H-E, X 132.
- Fig. 10. Lymphnode of natural case. Reticular fibers are dilated and broken. Silver impregnation. X stain, X 132.
- Fig. 11. Tonsil of natural case. Reticular fibers are dilated and broken. Silver imprehnation. X 132.
- Fig. 12. Lymph node of natural case. Acidophilic intranuclear inclusion bodies are seen in reticular cells. H-E, X 330.
- Fig. 13. Lymph node of experimental case inoculated with isolated hog cholera cirus. Acidophilic intranuclear inclusion bodies are seen in reticular cells. H-E, X 330.
- Fig. 14. Spleen of natural case. Intranuclear inclusion bodies are seen in reticular cells. H-E, X 330.
- Fig. 15. Spleen of experimental case inoculated with ALD virus. A cell containing two intranuclear inclusion bodies is shown H-E, X 330.
- Fig. 16. Spleen of experimental case inoculated with isolated hog cholera virus. Eosinophilic inclusion body is seen by the side of nuclear membrane. H-E, X 330.
- Fig. 17. Lung of natural case. A intranuclear inclusion body of alveolar epithelial cell with pneumonic lesion is seen. H-E, X 330.
- Fig. 18. Brain of experimental case inoculatedwith ALD virus. Intranuclear inclusion bodies are seen in vascular endothellal cells with cuffing. H-E, X 330.
- Fig. 19. Electron micrograph of reticular cell of lymph node in experimental case inoculated with isolated virus. A nucleolus with peripheral perichromatin is seen. X 10,000.
- Fig. 20. Electron micrograph of splenic reticular cell in experimental case inoculated with isolated virus. A nucleolus with peripheal interchromatin is seen. X 10,000.
- Fig. 21. Electron micrograph of splenic reticular cell in experimental case inoculated with isolated virus. Two nucleoli with perichromatin and interchromatin in a cell are seen. X 10,000.

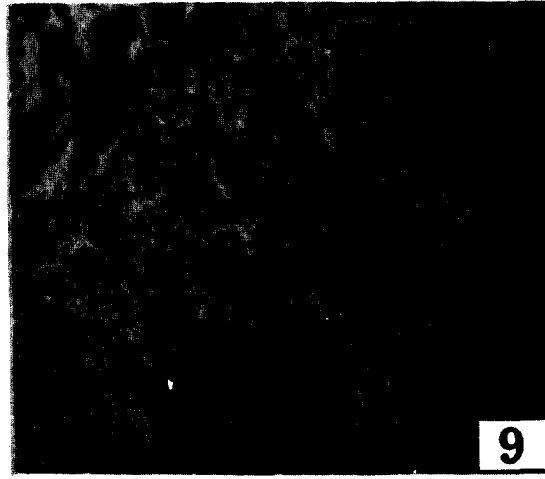




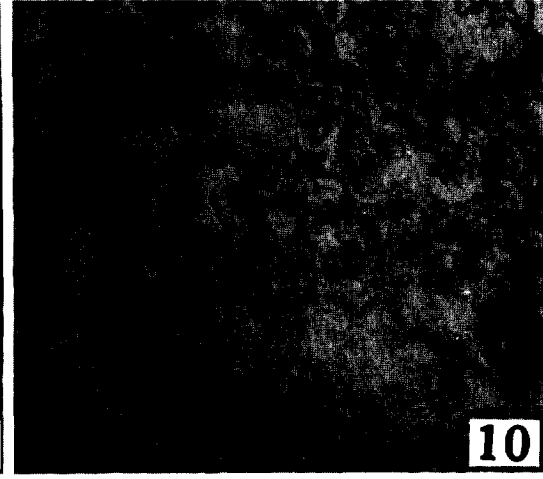
7



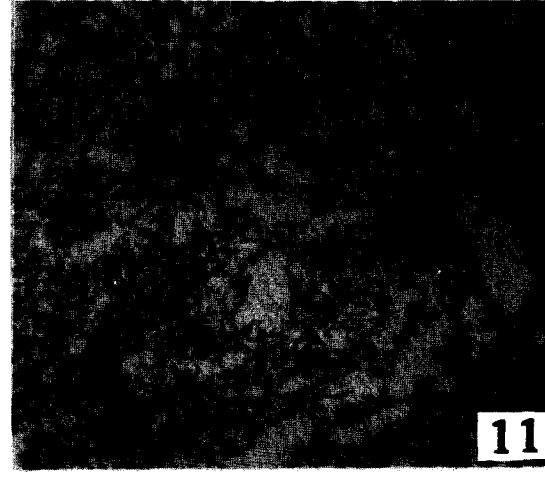
8



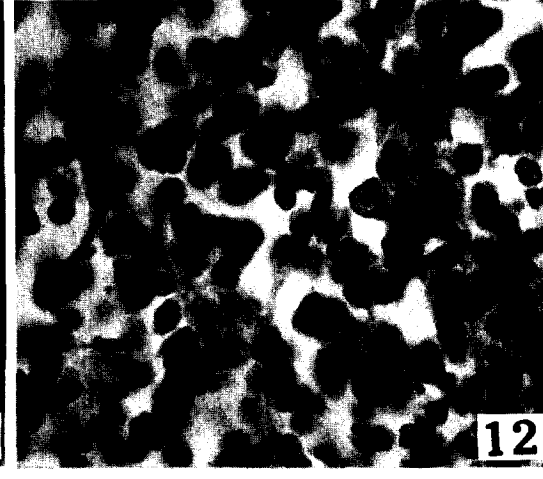
9



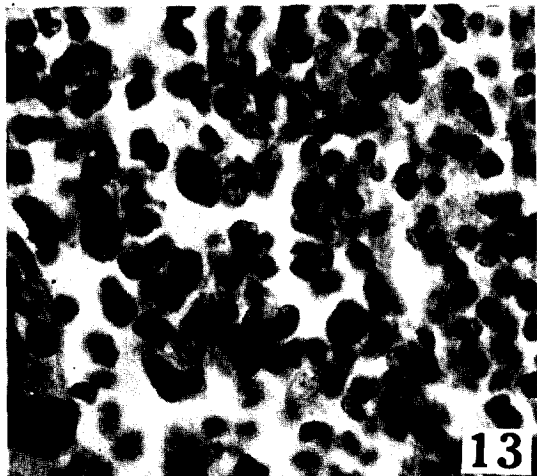
10



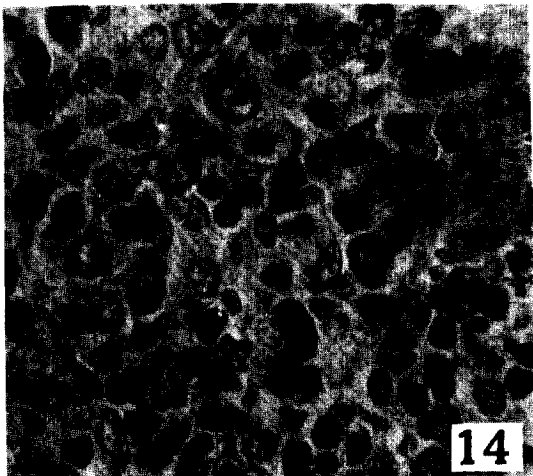
11



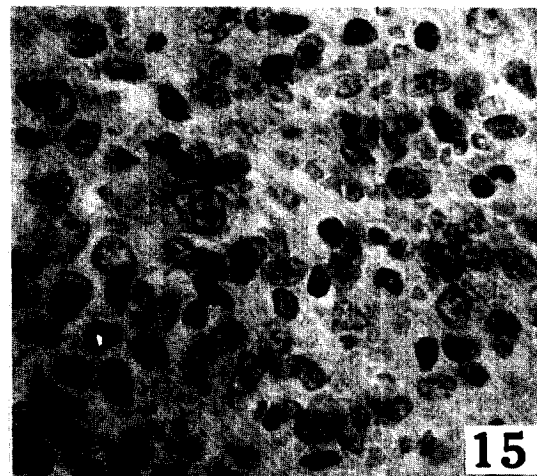
12



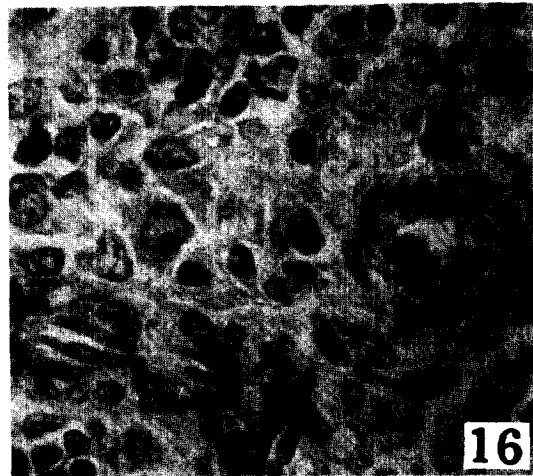
13



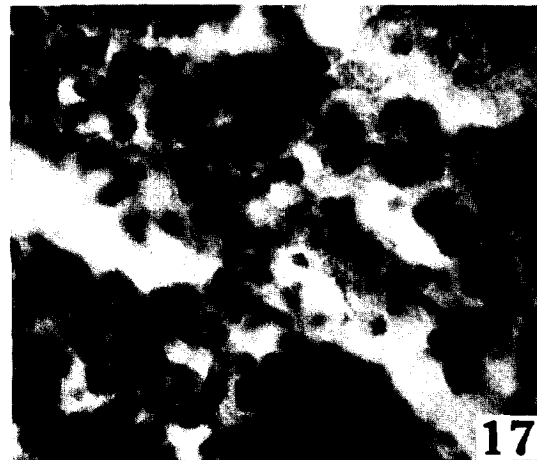
14



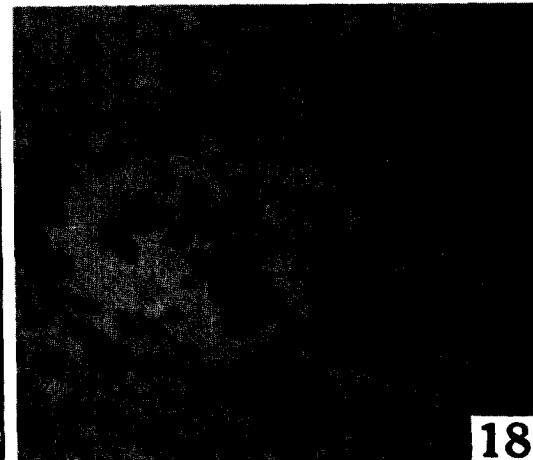
15



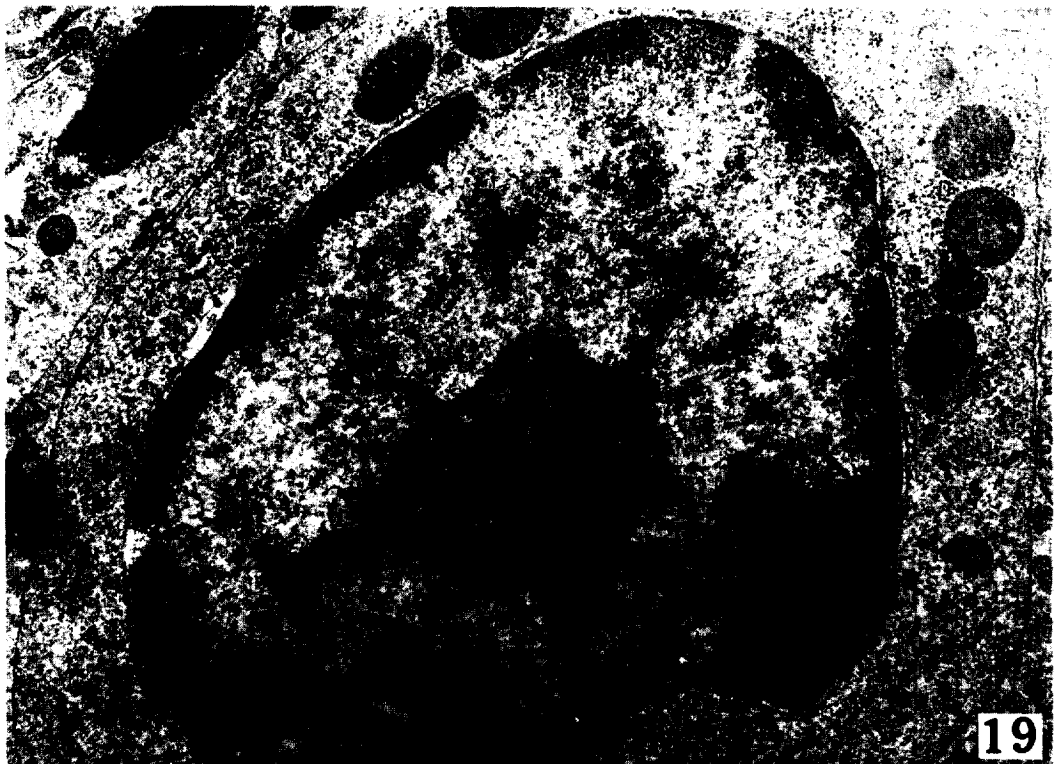
16



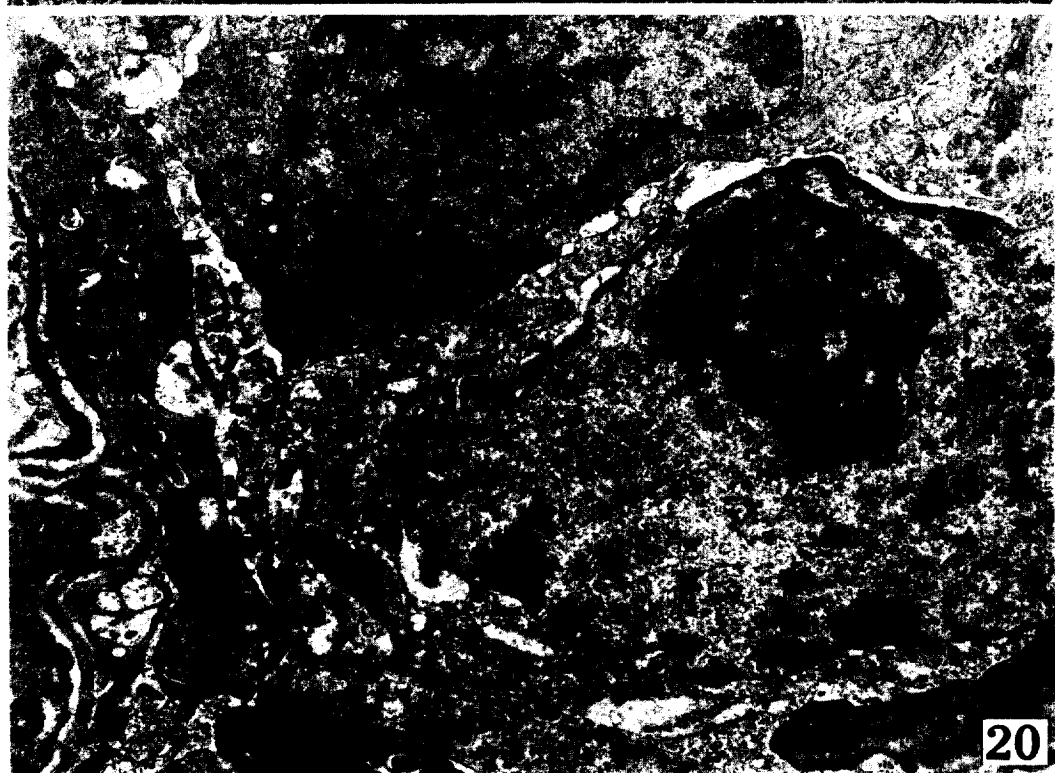
17



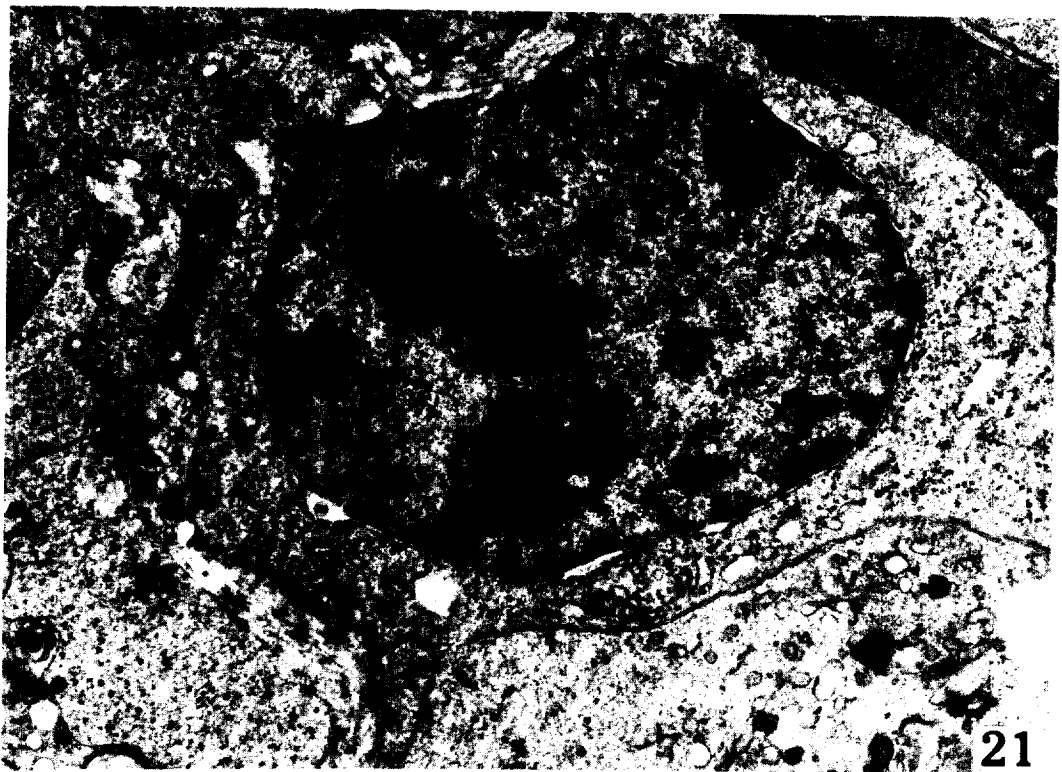
18



19



20



参考文献

1. Aiken, J.M., Hoopes, K.H., Stair, E.L., and Rhodes, M.B.: Rapid diagnosis of hog cholera: A tissue-impression fluorescent-antibody technique. *J.A.V.M.A.* (1964) 144: 1395.
2. Aiken, J.A., Hoopes, K.H., Stair, E.L., Rhodes, M.B., and Twiehaus, M.J.: Nonspecificity of fluorescent-antibody test for distinguishing hog cholera virus strains. *J.A.V.M.A.* (1967) 150:59.
3. Andrewes, S.W., Pereira, H.G., and Wildy, P.: Viruses of vertebrates. 4ed., Bailliere Tindall Co., London (1978) p. 100
4. Bass, E.P., and Ray, J.D.: Evaluation of a tissue culture hog cholera vaccine. *J.A.V.M.A.* (1963) 142:1112.
5. Benson, D.V.: The value of inclusion bodies in the diagnosis of hog cholera, *Am. J. Vet. Res.*, (1952) 13:304.
6. Bernhead, W., and Granboulan, N.: The fine structure of the cancer cell nuclear. *Expl. Cell Res.* (Suppl. 9) (1963) 19.
7. Blood, D.D., and Henderson, J.A.: Veterinary medicine. 3ed., Williams and Wilkins Co. Baltimore. (1968) p. 447.
8. Bruner, D.W., and Gillespie, J.H.: Hagan's infectious diseases of domestic animals. 6ed., Comstock pub. Co., Ithaca and London, (1973) p. 1266.
9. Brack, M.: Pathologische Veränderungen der Europaischen schweinepest bei Feten und Neugeborenen. *Zenter. Veterinaer med.* (1971) 18:749.
10. Burke, J.S., and Simon, G.I.: Electron microscopy of the spleen. II. Phagocytosis of colloidal carbon. *Am. J. Pathol.* (1970) 58:157.
11. Carbrey, E.A., Stewart, W.C., Kresse, J.I., and Lee, L.R.: Technical aspects of Tissue culture fluorescent antibody technique, *Proc. U.S. Livestock. Sanit. Ass.* (1965) 69:487.
12. Carbrey, E.A., Stewart, W.C., Kresse, J.I., and Lee, L.E.: Confirmation of hog cholera diagnosis by rapid serum neutralization technique. *J.A.V.M.A.* (1969) 155:2201.
13. Cheville, N.R., and Mengeling, W.L.: The pathogenesis of chronic hog cholera (Swine Fever), histologic, Immunofluorescent, and electron microscopic studies. *Labor. Invest.*, (1969) 20:261.
14. Cowdry, E.V.: General review: The problem of intranuclear inclusions in virus disease. *Arch. Path.* (1934) 18:527.
15. Dale, C.N., and Songer, J.R.: In Vitro Propagation of hog cholera virus. I. Method of cultivation and observation on color changes in the medium. *Am. J. Vet. Res.* (1957) 18: 362-368
16. Done, J.T.: The pathological differentiation of diseases of the central nervous system of the pig. *Vet. Res.* (1957) 69: 1341.
17. Dubey, J.P., Neisbrode, S.E., Sharma, S.P., Al-Khalidi, N.W., Aimerman, J.L., and Gaafar, S.M.: Porcine toxoplasmosis in Indiana. *J.A.V.M.A.* (1979) 174.
18. Dunne, H.W., Benbrook, S.C., Smith, E.M., and Kunnells, K.A.: Bone structure changes in pigs infected with hog cholera. *J.A.V.M.A.* (1957) 130:260.
19. Dunne, H.W., and Leman, A.D.: Diseases of swine. 4ed., Iowa State Univ. Press, Ames, Iowa, U.S.A. (1975) p. 189-447.
20. Dunne, H.W., Smith, E.M., Runnels, R.A., Stafseth, H.J., and Thorup, F.: A study of an Encephalitic strain of hog cholera virus. *Am. J. Vet. Res.* (1952) 13:277.
21. Ghadially, F.N.: Ultrastructural pathology of the cell, 1st ed. Butterworths, London and Boston (1975) p. 1.
22. Helmboldt, C.F., and Jungherr, E.H.: The neuropathologic diagnosis of hog cholera. *Am. J. Vet. Res.* (1950) 11:41.
23. Helmboldt, C.F., and Jungherr, E.H.: Further observations on the neuropathological diagnosis of hog cholera. *Am. J. Vet. Res.* (1952) 13:309.

24. Holzsorth, J.: Encephalitic toxoplasmosis in a cat. J.A.V.M.A. (1954) p. 313.
25. Horstmann, D.M., Manuelidis, E., and Sprinz, H.: Neuropathology of Teschen disease. Proc. Soc. Exptl. Biol. Med. (1951) 77:8.
26. Izawa, H., and Soekawa, M.: Attenuation of hog cholera virus in the carrier cell strains established kidneys of pigs experimentally infected with the virulent virus. Am. J. Vet. Res. (1967) 28: 1661.
27. Jones, R.K., and Doyle, L.P.: A study of encephalitis in swine in relation to hog cholera. Am. J. Vet. Res. (1953) 14: 415.
28. Karnovsky, M.J.: A formaldehyde-glutaraldehyde fixative of high osmolality for use in electron microscopy. J. Cell Biol. (1965) 27: 137.
29. Keeble, S.A., Bone, J.T., and Darbyshire: Studies on an attenuated swine fever vaccine, Br. Vet. J. (1966) 122:190.
30. Konne, S., Taylor, W.D., Hess, W.R., and Heuschele, W.P.: Spleen pathology in aftican swine fever, Cornell. Vet. (1972) 62: 486.
31. Kresse, J.I., Stewart, W.C., Carbrey, E.A., and Synder, M.L.: Sensitivity of swine buffy coat culture to infection with hog cholera virus, Am. J. Vet Res. (1976) 37: 1315.
32. Kresse, J.I., Stewart, W.C., Carbrey, E.A., and Snyder, M.L.: Swine buffy coat culture: An aid to the laboratory diagnosis of hog cholera. Am. J. Vet Res. (1975) 36:141.
33. Kumagi, T., Shimizu, T., Ikeda, S., and Matumoto, M.: A new in vitro method (END) for detection and measurement of hog cholera virus and its antibody by means of effect of HC virus on newcastle disease virus in swine tissue culture. 1. Establishment of standard procedure., J. Immune. (1961) 87: 245.
34. Kumagai, T., Shimizu, T., Ikeda, S., and Matumoto, M.: ditto, II. Some characteristics of END method. J. Immuno. (1961) 87: 245.
35. Lee, R.C.T.: An electron microscopic study of the cytopathologic changes in cells infected with hog cholera virus and grwon in vitro.. Cornell Vet. (1962) 52: 39.
36. Lin, T.C., Kang, B.J., Shimizu, Y., Kumagai, T., and Sasahara, J.: Evaluation of the fluorescent antibody cell culture test for detection and titration of hog cholera virus. Nat. Inst. Anim. Hlth. Quart. (1969) 9: 10. *
37. Lin, T.C., Shimizu, Y., Kumagai, T., and Sarahara, J.: Pathogenesis of hog cholera virus infection in experimentally inoculated swine. Nat. Inst. Anim. Hlth. Quart. (1969) 9: 20.
38. Lin, T.T.C., Lai, S.S., Chen, C.S., and Lee, R.C.T.: Multiplication of an attenuated hog cholera virus, LPC-china strain in various cell cultures. The second congress of the federation of asian Vet. Assoc. program and Abstracts (1980) p. 100.
39. Luedke, A.J., and Dunne, H.W.: Focal necrosis in the mucosa of the gallbladder in pigs with hog cholera. Am. J. Vet. Res. (1961) 22: 391.
40. Mainwaring, G.T., and Sorensen, D.K.: Symposium on hog cholera, Univ. of Minesota, Insti. of Agri. short courses (1961).
41. Maurer, F.D., Griesemer, R.A., and Jones, T.C.: The pathology of aftican swine fever- A comparison with hog holera. Am. J. Vet. Res. (1958) 19: 517.
42. Mengeling, W.L., and Drake, L.: Replication of hog cholera virus in cell culture. Am. J. Vet Res., (1969) 30: 1817.
43. Mengeling, W.L., and Packen, R.A.: Pathogenesis of chronic hog cholera; Host response. Am. J. Vet. Res. (1969) 30: 409.
44. Mengeling, W.L., and Torrey, J.P.: Evaluation of the fluorescent antibody-cell culture test for hog cholera diagnosis. Am. J. Vet. Res. (1967) 28: 2653.
45. Merchant, I.A., and Packer, R.A.: Veterinary

- bacteriology and virology. 7 ed., Iowa state, U.S.A. (1967) 699.
46. Millian, S.J., and Englehard, W.B.: Application of the agglutination complement absorption test to detect hog cholera antibodies. 1. The technique. Am. J. Vet. Res. (1961) 396.
 47. Moriwaki, M., Hayashi, S., Minami, T., and Irkikani, R.: Detection of congenital toxoplasmosis in piglet. Jap. J. Vet. Sci. (1976) 38:377.
 48. Moulton, E., Pan, I.C., Hess, W.R., DeBoer, C.J., and Tessler, J.: Pathologic features of chronic pneumonia in pigs with experimentally induced african swine fever. Am. J. Vet. Res. (1976) 36: 27.
 49. Moulton, J., and Coggins, L.: Comparison of lesions in acute and chronic african swine fever. Cornell. Vet., (1968) 58: 364-288.
 50. Muirhead, M.R.: Respiratory diseases of pigs. Br. Vet. J. (1979) 135:497.
 51. Nunes petisca, J.L., Santos, Z., and costa Durao, J.: Morphological studies on swine fever and african swine fever. I. Possibility of intranuclear inclusions in swine fever. Abstr. Vet. Bull. (1966) 37:907.
 52. Okaniwa, A., and Ishitani, R.: Pathological studies on hog cholera. I. Histopathological finding on hogs inoculated with lapinized hog cholera virus. Bull. Nat. Inst. Anim. Hlth., (1959) 37: 19.
 53. Okaniwa, A., and Ishitani, R.: Ditto. II. Histopathological findings in pigs inoculated with virulent hog cholera virus with special reference to findings in the central nervous system. Nat. Inst. Anim. Hlth. (1960) 40: 89.
 54. Okaniwa, A., and Ishitani, R.: ditto, III Histopathological findings in pigs inoculated with virulent hog cholera virus with special reference to findings in the spleen and lymph node, Nat. Inst. Anim. Hlth. (1960) 40: 103.
 55. Okaniwa, A., and Ishitani, R.: Ditto. IV.
 - Histopathological findings in pigs inoculated with virulent hog cholera virus with special reference to findings in the liver, kidney, and lung and interrelations among lesions. Nat. Inst. Anim. Hlth. (1960) 40:115.
 56. Okaniwa, A., and Ishitani, R.: Ditto, V Histopatholofical finding in the naturally infected cases of hog cholera in Japan, Nat. Inst. Anim. Hlth. (1960) 40:127.
 57. Okaniwa, A., and Ishitani, R.: Development of vascular lesions in the spleen of pigs suffering from hog cholera. Nat. Inst. Anim. Hlth. Quart. (1962) 2: 37.
 58. Okaniwa, A., Nakagawa, M., Shimizu, Y., and Furuuchi, S.: Lesions in swine inoculated with attenuated hog cholera viruses. Nat. Inst. Anim. Hlth. Quart. (1969) 9: 92.
 59. Peckham, J.C., Cole, J.R., and Pursell, A.R.: Fluorescent antibody and histopathologic procedures for hog cholera diagnosis, J.A.V.M. (1970) 157: 1204.
 60. Pilchard, E.I.: Hog cholera lesions in swine given modified vaccine. J.A.V.M.A. (1966) 148: 48.
 61. Pirtle, E.C.: In vitro spread of hog cholera viral infection from cell to cell; Demonstration of viral antigen in cytoplasmic bridges. Am. J. Vet. Res. (1969) 30: 1913.
 62. Pirtle, E.C.: In vitro spread of hog cholera viral infection from cell to cell; Demonstration of viral antigen in dividing cells. Am. J. Vet. Res. (1969) 30: 1909.
 63. Pirtle, E.C.: Hog cholera virus yields in swine kidney cells fused with Beta-propiolactone-inactivated sendai virus. Am. J. Vet. Res. (1972) 33:121.
 64. Pirtle, E.C., and Kniazeff, A.J.: Susceptibility of cultured mammalian cells to infection with virulent and modified hog cholera viruses. Am. J. Vet. Res. (1968) 29: 1033.
 65. Pirtle, E.C., and Mengeling, W.C.: Antigenic difference in two hog cholera virus strains. Am. J. Vet. Res. (1971) 32: 1473.
 66. Seifried, O.: Histological studies on hog

- cholera. 1. Lesions in the central nervous system. *J. exptl. Med.* (1931) 53: 277.
67. Siegmund, O.N.: The merk veterinary manual, 4 ed. Merck and Co., Rahway. N.J., U.S.A. (1973) p. 295.
68. Solarzano, R.F., Thigpen, J.E., Bedell, D.M., and Schwartz, W.L.: The diagnosis of hog cholera by a fluorescent antibody test. *J.A.V.M.A.* (1966) 149: 31.
69. Taylor, R.L.: New laboratory tests for hog cholera diagnosis. *Vet. Med.* (1961) 56: 229.
70. Teebken, D.L., Aiken, J.M., and Twiehaus, M.J.: Differentiation of virulent, attenuated, and inactivated hog cholera viruses by fluorescent-antibody technique. *J.A.V.M.A.* (1967) 150: 53.
71. Urman, H.K., Underdahl, N.R., Aiken, J.M., Stain, E.L., and Young G.A.: Intranuclear inclusion bodies associated with hog cholera. *J.A.V.M.A.* (1962) 141: 571.
72. Watson, M.L.: Observations on a granule associated with chromatin in the nuclei of cells of rat and mouse. *J. Cell Biol.* (1962) 13: 162.
73. Yoshikawa, T., and Hanada, T.: Pathology of cytomegalic inclusion body disease in swine. *Jap. J. Vet. Sci.* (1977) 39:47.
74. 강병직, 권혁진, 김선중, 문재봉: 조직배양순화豚콜래라생독백신의 야외접종시험, 농사시험연구보고, (1971) 제 4집 (가축위생편): 27
75. 강병직, 권혁진, 문재봉, 김선중: 조직培養馴化豚콜래라바이러스(LOM-850)의試驗管內證明 및培養細胞에서의增殖性과保存性에對하여, 農事試驗研究報告, (1969) 第 12 號輯 第 5 號: 1
76. 姜炳稷, 權珍, 李鉉洙, 朴東權: 組織培養馴化豚콜래라生毒(LOM株)豫防藥의韓國產豚에對한應用試驗, 農事試驗研究報告, (1967) 第 10 號第 5 卷: 85
77. 權珍, 姜炳稷, 文載鳳, 金善中: 組織培養馴化豚콜래라病毒(LOM-850)接種豚의抗体消長에對하여, 農事試驗研究報告, (1968) 第 11 號 第 5 卷: 53
78. 文武洪: 豚콜래라에서의年令的으로본肋軟骨端의病理組織學의變化에對하여, 晉州農科大學研究論文集, (1967) 第 6 號, 71
79. 孫濟英, 趙漢詰: 大邱市山格洞一帶에流行한豚cholera의調查報告, 慶北大學校論文集, (1958) 第三輯: 301
80. 李昌熙, 姜炳稷: 組織培養에서 Hog cholera virus增殖이 Newcastle disease virus에 미치는影響, 農事試驗研究報告, (1964) 第 7 號 第 3 卷: 29
81. 中村成幸, 清水實嗣, 清水悠紀臣: 豚コレラウイルスのマクロファージにねける増殖, 日本獸醫學會秋季發表大會抄錄輯 (1980) p. 144.

Histopathologic Studies on the Brain and Lymphoid Organs in Hog Cholera

II. Necrotic Lesion and Inclusion Body in the Lymphoid Organ

Soo-Dong Kwak, D.V.M., M.S., Ph.D.

Gyeongbug Animal Health Experimental Institute

Cha-Soo Lee, D.V.M., M.S., Ph.D.

Department of Veterinary Medicine, College of Agriculture, Gyeongbug National University

Abstract

This study was taken to clarify the histopathological changes of pigs naturally infected with hog cholera. Microscopic observations of the necrotic lesion and inclusion body in the lymphoid organs were carried out in the natural cases of hog cholera and experimental cases inoculated with ALD virus and isolated virus strains. Electron microscopic findings of the intranuclear inclusion bodies in the reticular cell of spleen and lymph node were also observed in the experimental cases.

The results obtained are as follow,

As the histological findings necrosis of lymphoid organs was observed mainly in the lymph follicle. The necrotic lymphoid organs were found to contain 35.0% in the natural and 37.5% in the experimental cases.

Intranuclear inclusion bodies were found mainly in the reticular cells of lymphoid organ, the epithelium of bronchiole and alevolus, and the vascular endothelium of brain. These inclusion bodies were seen in 40.0% of the natural cases and all of the experiment. The inclusion body was appeared to compose of activated nucleoli and chromatin granules (interchromatin and perichromatin) by electron microscopy.